

Alfvén 波の伝播に関する考察

神戸大学 理学部 惑星学科 流体地球物理学教育研究分野 1543408s 香川 大輔

1. 研究対象

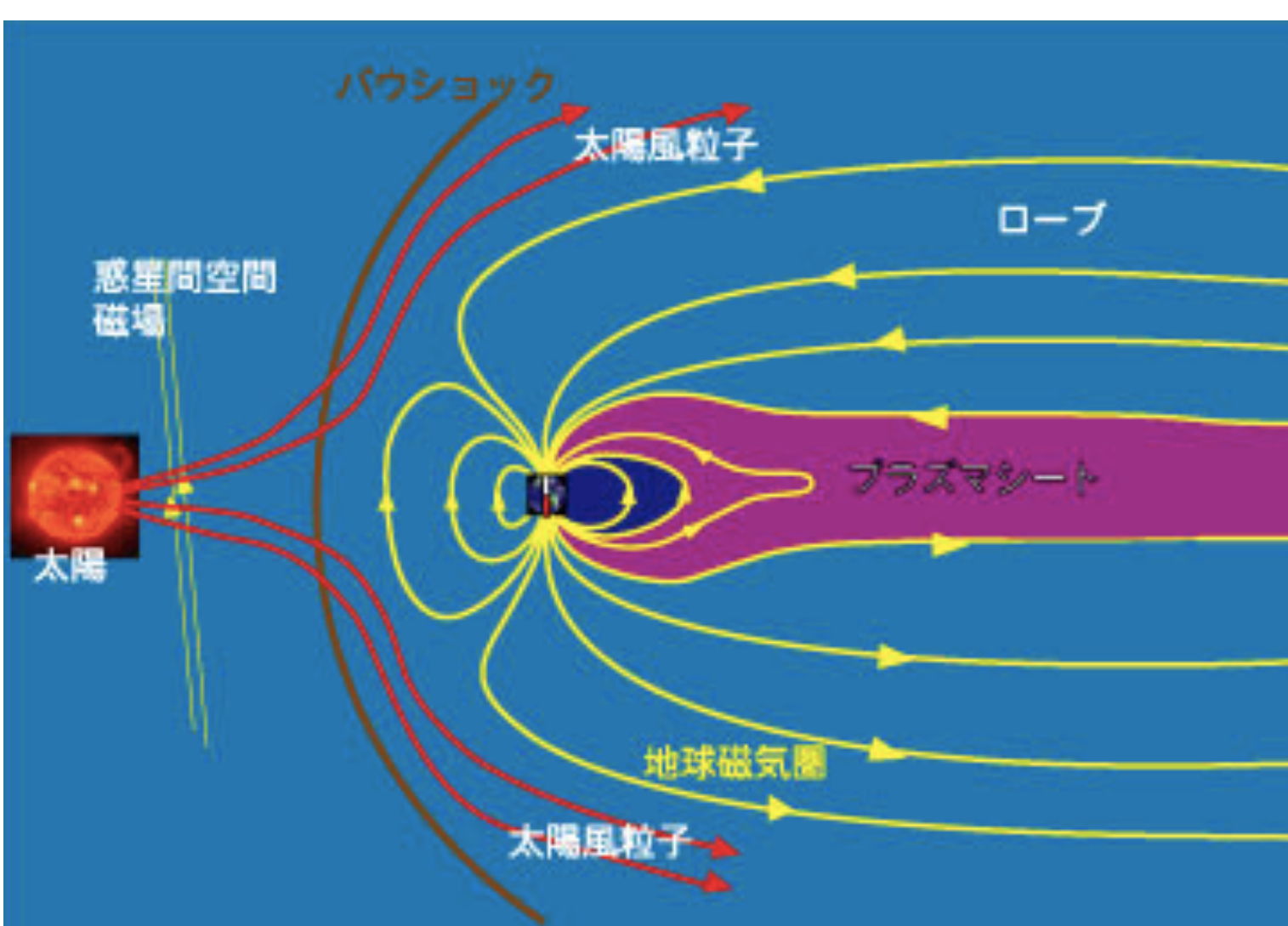


図1: 地球磁気圏の模式図 (引用: http://www.museum.kyushu-u.ac.jp/publications/special_exhibitions/PLANET/06/06-2.html)

- 地球は固有磁場を持つ
- 太陽 - 地球間の宇宙空間はプラズマで満たされている
 - * プラズマは気体分子が電離した状態
- プラズマと地球磁場が相互作用することにより、様々な現象が生じる
 - * 地球磁場の変動, etc.

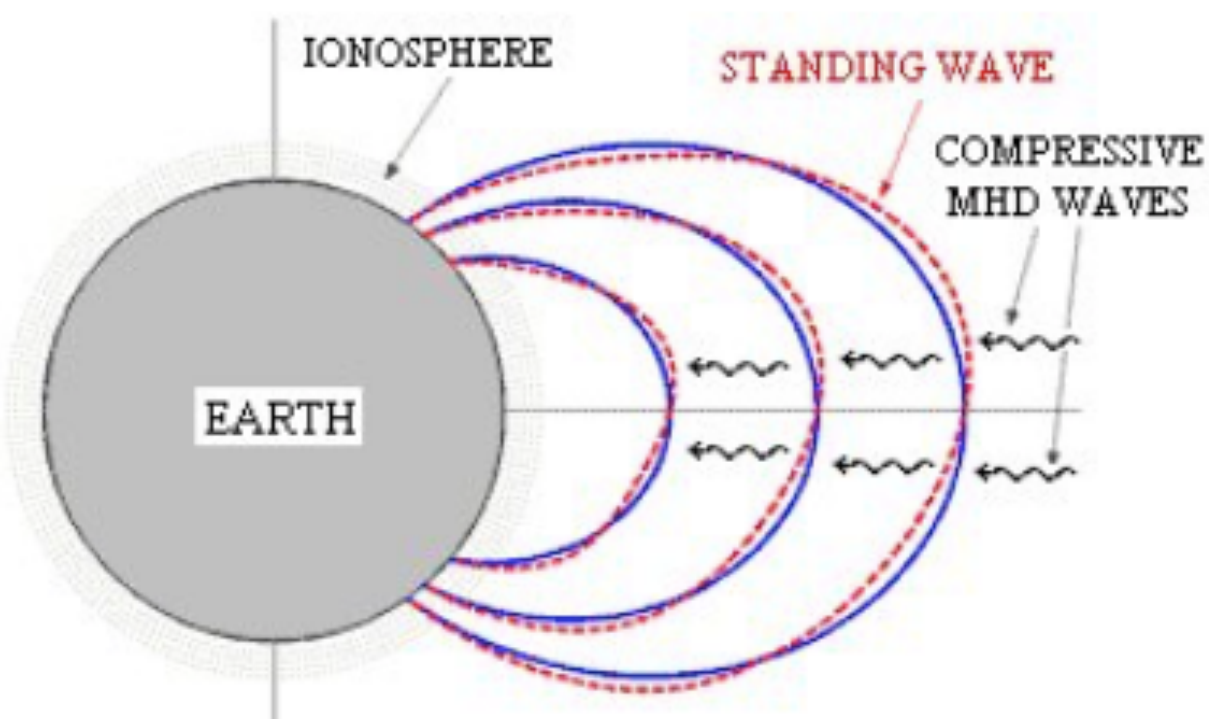


図2: 地球磁場が変動する様子を示した模式図。青: 磁場の基本状態, 赤: 磁場が変動したもの。(引用: http://roma2.rm.ingv.it/en/themes/22/magnetic_ulsations)

- 地球磁場は常に変動している
 - * 周波数の低いもの (1Hz ~ 1mHz 程度) が Alfvén 波として解釈される
- Alfvén 波
 - * Hannes Alfvén (1942) により発見された, プラズマ中を伝播する波の一つ
 - * 波長が大きく, 周波数が低い

2. 研究目的

- Alfvén 波を物理的に理解するため, 線形化した基礎方程式から波の解を仮定して分散関係を求め, 基本的性質を考察する

3. 一流体近似の下で線形化した基礎方程式

- 磁気流体近似
 - * プラズマ集団を電磁気力が働く磁気流体とみなす
 - * 適用条件: 対象の時間・空間スケールがイオンサイクロトロン運動の周期・半径より大きい
- Alfvén 波の時間・空間スケールは, 磁気流体近似が適用できるほど大きい
 - 磁気流体近似を用いる

基礎方程式

- * Maxwell 方程式: $\nabla \times \mathbf{E}_1 = -\frac{\partial \mathbf{B}_1}{\partial t}$
 $\nabla \times \mathbf{B}_1 = \mu \mathbf{J}_1$
 $\nabla \cdot \mathbf{B}_0 = 0$
- * 運動方程式: $\rho_0 \frac{\partial \mathbf{v}_1}{\partial t} = -\nabla p + \mathbf{J}_1 \times \mathbf{B}_0$
- * 連続の式: $\frac{\partial \rho_1}{\partial t} + \rho_0 \nabla \cdot \mathbf{v}_1 = 0$
- * Ohm の法則: $\mathbf{J}_1 = \sigma(\mathbf{E}_1 + \mathbf{v}_1 \times \mathbf{B}_0)$

添字 0 ... 時間と空間に一様で静止した状態
 添字 1 ... 時間と空間に依存した微小変動

E: 電場
B: 磁束密度
v: 速度
ρ: 密度
J: 電流密度
p: 圧力
μ: 透磁率
σ: 電気伝導率

4. 単純化した Alfvén 波の波動方程式と伝播メカニズム

- 波の性質について考察する
 - * 仮定: 電気伝導率 $\sigma \rightarrow \infty$ (理想磁気流体)
 非圧縮な運動を伴う ($\nabla \cdot \mathbf{v}_1 = 0$)
 磁場 \mathbf{B}_0 の方向は z 方向
 - * Ohm の法則で $\sigma \rightarrow \infty$ を適用すると, $\mathbf{E}_1 + \mathbf{v}_1 \times \mathbf{B}_0 = 0$
 - * 単位体積あたりに働く Lorentz 力は, 磁場による圧力 (右辺第一項) と磁気張力 (右辺第二項) に分解することができる
 - $\mathbf{J}_1 \times \mathbf{B}_0 = -\frac{1}{\mu} \nabla(\mathbf{B}_0 \cdot \mathbf{B}_1) + \frac{1}{\mu} (\mathbf{B}_0 \cdot \nabla) \mathbf{B}_1$
 - * 運動方程式に ∇ をスカラー的にかけ, $\nabla \cdot \mathbf{B}_0 = 0, \nabla \cdot \mathbf{v}_1 = 0$ を用いると, $\nabla^2(p + (\mathbf{B}_0 \cdot \mathbf{B}_1)/\mu) = 0$ を得る。
 - 任意関数をゼロとすると, $p + \frac{(\mathbf{B}_0 \cdot \mathbf{B}_1)}{\mu} = 0$
 - * 運動方程式 $\rightarrow \rho_0 \frac{\partial \mathbf{v}_1}{\partial t} = \frac{1}{\mu} (\mathbf{B}_0 \cdot \nabla) \mathbf{B}_1 \dots (a)$
 - * Maxwell 方程式と Ohm の法則から誘導方程式が得られる
 - $\frac{\partial \mathbf{B}_1}{\partial t} = (\mathbf{B}_0 \cdot \nabla) \mathbf{v}_1 \dots (b)$
- (a) と (b) から波動方程式が得られる ($v_A = B_0/\sqrt{\mu\rho_0}$ は Alfvén 速度)
 - $\frac{\partial^2 \mathbf{v}_1}{\partial t^2} = v_A^2 \frac{\partial^2 \mathbf{v}_1}{\partial z^2}, \frac{\partial^2 \mathbf{B}_1}{\partial t^2} = v_A^2 \frac{\partial^2 \mathbf{B}_1}{\partial z^2}$
 - \mathbf{v}_1 および \mathbf{B}_1 が z 方向 (\mathbf{B}_0 の方向) に速度 v_A で伝播する波を表す
 → Alfvén 波

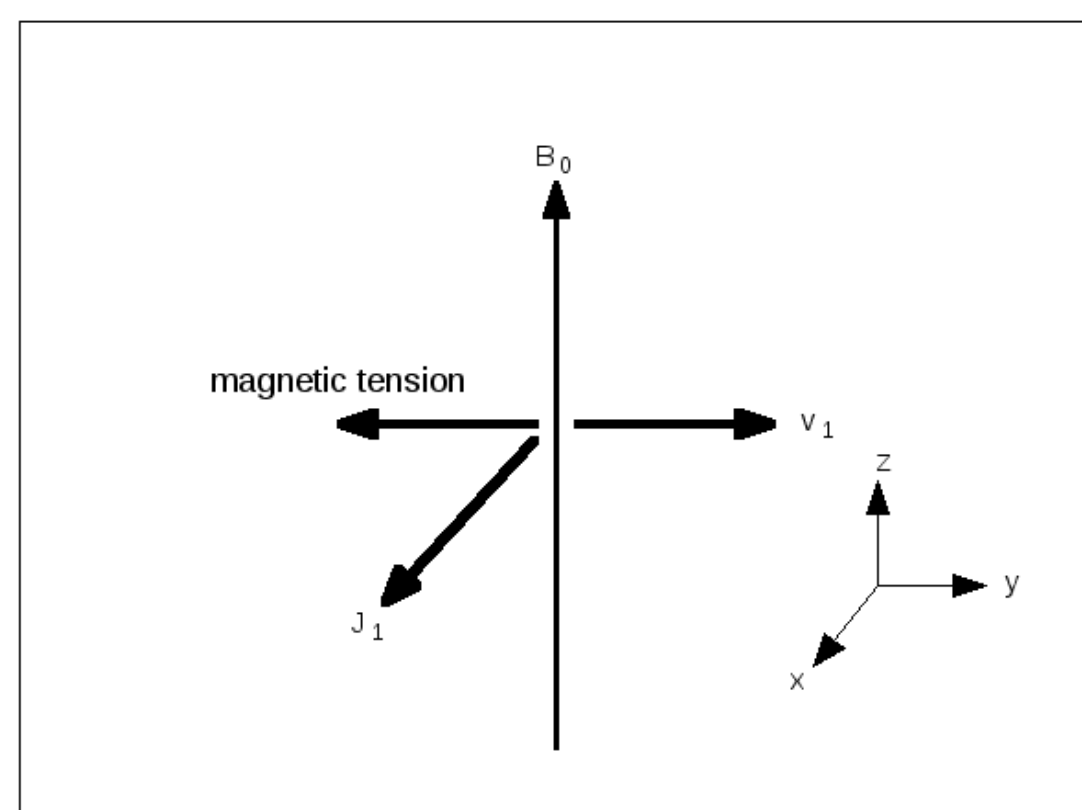


図3: Alfvén 波の伝播のメカニズムを示した略図

- Alfvén 波の伝播のメカニズム (図 3)
 - y 方向に速度の変動 \mathbf{v}_1 が生じたとする
 - $-\mathbf{v}_1 \times \mathbf{B}_0$ の方向 (-x 方向) に電場 \mathbf{E}_1 を形成し, その方向に電流 \mathbf{J}_1 が生じる
 - $\mathbf{J}_1 \times \mathbf{B}_0$ の方向 (-y 方向, \mathbf{v}_1 の逆方向) に磁気張力 $\frac{1}{\mu} (\mathbf{B}_0 \cdot \nabla) \mathbf{B}_1$ が生じる
 - \mathbf{v}_1 は磁気張力により -y 方向に引き戻される
- Alfvén 波は磁気張力を復元力とする波である

4-1. 一流体近似の下での Alfvén 波の分散関係

- 微小変動 $\mathbf{v}_1, \mathbf{B}_1, \rho_1$ は
 $\mathbf{v}_1, \mathbf{B}_1, \rho_1 \propto \exp(i(\mathbf{k} \cdot \mathbf{r} - \omega t))$
 を満たす平面波であるとする
- 波の解を仮定して得られる式

$$\left\{ \frac{(\mathbf{B}_0 \cdot \mathbf{k})^2}{\mu \rho_0} - \omega^2 \right\} \mathbf{v}_1 + \left\{ \left(\frac{B_0^2}{\mu \rho_0} + a^2 \right) \mathbf{k} - \frac{B_0 (\mathbf{B}_0 \cdot \mathbf{k})}{\mu \rho_0} \right\} (\mathbf{k} \cdot \mathbf{v}_1) - \frac{(\mathbf{B}_0 \cdot \mathbf{k})(\mathbf{B}_0 \cdot \mathbf{v}_1)}{\mu \rho_0} \mathbf{k} = 0 \dots (i)$$

ω : 周波数
 \mathbf{k} : 波数ベクトル
 k_z : 磁場に沿った波数
 k_\perp : 磁場に垂直な波数
 θ : 磁場と波数ベクトルのなす角
 $a = \left(\frac{\partial v}{\partial \rho}\right)^{1/2}$: 音速

から, 速度の擾乱 \mathbf{v}_1 の方向によって分類

① \mathbf{v}_1 が \mathbf{B}_0 と \mathbf{k} に垂直である場合

- (i) において $\mathbf{k} \cdot \mathbf{v}_1 = 0$ かつ $\mathbf{B}_0 \cdot \mathbf{v}_1 = 0$
- 分散関係: $\omega^2 = v_A^2 k^2 \cos^2 \theta$
 → シアー Alfvén 波

② \mathbf{v}_1 が \mathbf{B}_0 と \mathbf{k} の作る平面上にある場合

- (i) において $\mathbf{v}_1 = v_{1z} \mathbf{e}_z + v_{1\perp} \mathbf{e}_k$ とする (図 4)
- 分散関係: $\omega^4 - k^2 (v_A^2 + a^2) \omega^2 + k^4 a^2 v_A^2 \cos^2 \theta = 0$
 → 圧縮モード Alfvén 波

- 分散関係は二つの正の実数解を持つ

- 位相速度が大きい方: $\omega^2 = \frac{1}{2} k^2 [v_A^2 + a^2 + \{(v_A^2 + a^2)^2 - 4v_A^2 a^2 \cos^2 \theta\}^{1/2}]$
 → 速進波
- 位相速度が小さい方: $\omega^2 = \frac{1}{2} k^2 [v_A^2 + a^2 - \{(v_A^2 + a^2)^2 - 4v_A^2 a^2 \cos^2 \theta\}^{1/2}]$
 → 遅進波

- 一流体近似の下では, 分散関係は k_\perp に依存しない

- * 磁場に沿った電子の力学は無視できる → 磁場に平行な電場を無視できる

- シアー Alfvén 波, 速進波, 遅進波の位相速度と群速度はともに θ の関数
- 位相速度と群速度を図示し, それらが θ によってどう変化するかを確認する

■ 位相速度図

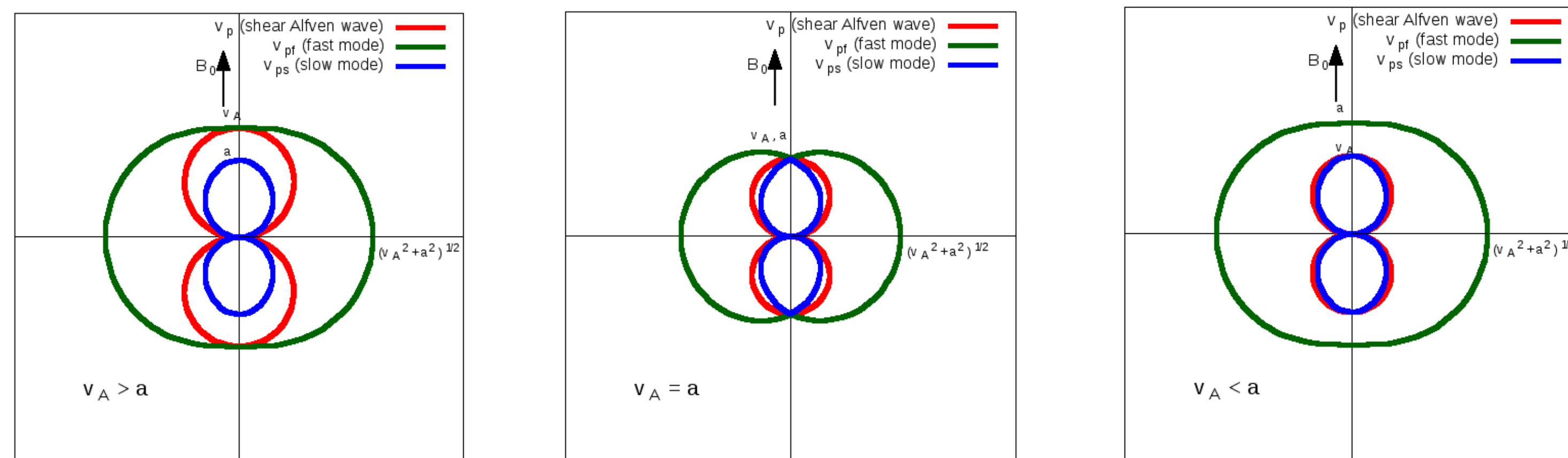


図5: シアー Alfvén 波 (赤), 速進波 (緑), 遅進波 (青) の位相速度図. (左: $v_A > a$, 中: $v_A = a$, 右: $v_A < a$) 縦軸は磁場の方向, 横軸は磁場に垂直な方向である。

- シアー Alfvén 波と遅進波は, 磁場と垂直な方向には伝播しない
- 速進波は磁場と垂直な方向に位相速度 $(v_A^2 + a^2)^{1/2}$ で伝播し, これを特に磁気音波という
- 磁場に沿った方向に位相速度 v_A で伝播する波をシアー Alfvén 波, a で伝播する波を磁気音波という

■ 群速度図

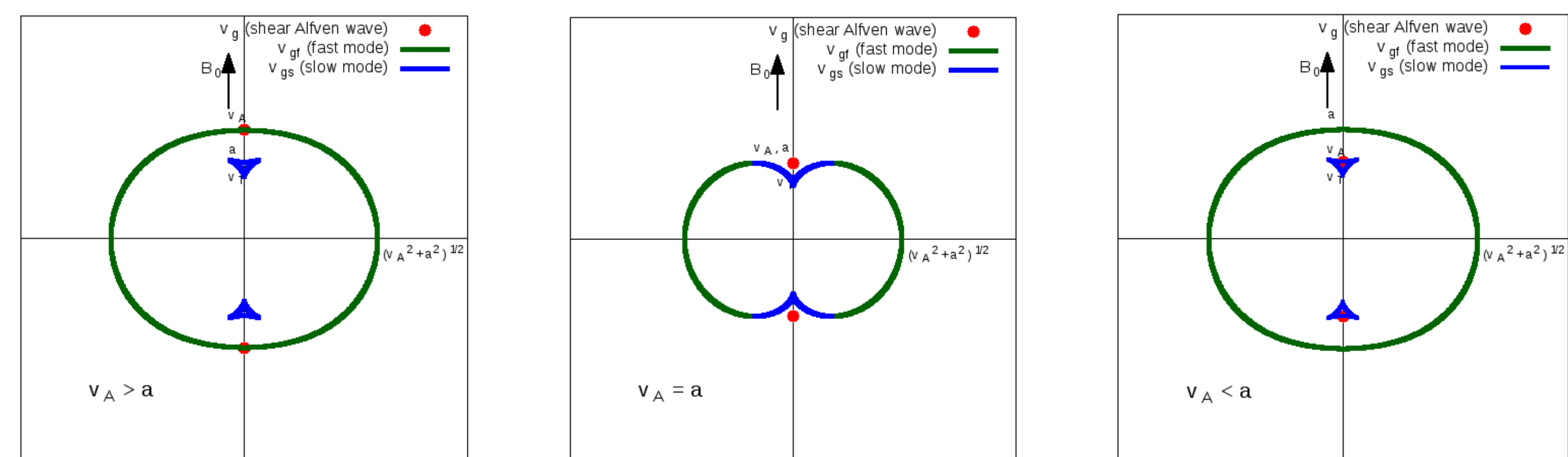


図6: シアー Alfvén 波 (赤), 速進波 (緑), 遅進波 (青) の群速度図. (左: $v_A > a$, 中: $v_A = a$, 右: $v_A < a$) 縦軸は磁場の方向, 横軸は磁場に垂直な方向である。

- シアー Alfvén 波は磁場に沿った方向にのみエネルギーを輸送する
- 速進波は磁場に垂直な方向に最大の速度 $(v_A^2 + a^2)^{1/2}$ でエネルギーを輸送する
- 遅進波は円錐形の方にエネルギーを輸送する

4-2. 二流体近似の下での Alfvén 波

- ◆ 本研究では, 二流体近似の下での Alfvén 波の分類と伝播の考察も行なったが, ここでは省略する

5. まとめ

- Alfvén 波は磁気張力を復元力とする波であり, 磁場や速度の変動を伴う
- 波の解を仮定し, 分散関係を求めた
- 各モードにおいて位相速度および群速度を求めることにより, それぞれの伝播の性質を確認した